

## Bacillus sp. 유래 $\beta$ -Mannanase의 정제 및 Chromatography에 의한 Xanthan Gum 가수분해물의 분리

박 귀 근

경원대학교 생명공학부 분자·식품생명공학전공

### Purification of *Bacillus* sp. $\beta$ -Mannanase and Separation of Xanthan Gum Hydrolysate by Chromatography Methods

Gwi-Gun Park

Dept. of Food and Bioengineering, Kyungwon University, Seoungnam 461-701, Korea

#### Abstract

A  $\beta$ -mannanase of *Bacillus* sp. was purified by DEAE Sephadex ion exchange column chromatography. The specific activity of the purified enzyme was 17.41 units/mg protein, representing an 84.74-folds purification of the original crude extract. For the separation of two types of hydrolysates by the action of purified  $\beta$ -mannanase, carbon column chromatography, sephadex G-25 column chromatography and thin layer chromatography were accomplished. Main hydrolysates were D.P value 5 and 7 containing of low D.P values. By the method of FACE (Fluorophore Assisted Carbohydrate Electrophoresis), two types of hydrolysates were identified to homo type.

**Key words:** *Bacillus* sp.,  $\beta$ -Mannanase, xanthan gum, FACE method

#### 서 론

$\beta$ -Mannanase[(1 $\rightarrow$ 4)- $\beta$ -D-Mannan mannanohydrolase, endo- $\beta$ -D-Mannanase, EC 3.2.1.78](1-3)는 copra의 내유, 상아야자와의 견과, guar gum, locust bean gum, coffee, konjak의 뿌리 등과 같은 식물체에 존재하는  $\beta$ -mannan의  $\beta$ -1,4-mannosidic linkage를 가수분해하는 효소이다(4-7). 이 러한  $\beta$ -mannan의 대부분은 유화제, 농화제로서 제빵, 치즈, 아이스크림, 육류 충전제, 우유, 유제품, 섭식용 식품 등의 식품 산업에 이용되고 있지만(8,9),  $\beta$ -mannanase를 산업적으로 이용하는 것에 관해서는 거의 밝혀진 바가 없다. 최근에 mannooligosaccharide가 인체의 정상적인 장내 상태를 유지하는데 중요한 역할을 하는 *Bifidobacterium*의 좋은 애너지원으로서 유용하다는 것이 밝혀졌다(10). *Bifidobacterium*은 인체 장내 flora의 최우세 균주로서 인체에 유익한 각종 생리활성을 지니고 있지만 각종 질병(11)이나 연령(12)의 증가에 따라서 감소·소실된다는 것이 보고되어져 있으며, 그 때문에 오늘날에는 이들 균종의 장내의 균수를 높이는 연구가 소아과 영역을 비롯하여 임상면에서 널리 행해지고 있다(13,14). Kobayashi 등(10)은 천연의 비소화성 당질을 대상으로 *Bifidobacterium*의 증식촉진성 당질의 검사를 행하여 선택한 konjac mannooligosaccharide와 soybean oligosac-

charide를 장내 flora 개선의 소재로서 이용할 목적으로 쥐 및 인체의 투여실험을 행한 후 장내 flora와 대변 및 뇨의 이화학적 성상을 조사한 바 있다. 이 결과에 의하면 konjac mannooligosaccharide 및 soybean oligosaccharide를 쥐에 투여했을 경우 bifidus factor라고 알려져 있는 lactulose를 투여한 경우에 비하여 *Bifidobacterium*의 증식촉진효과가 현저히 증가함을 알 수 있었다(15-17).

이와 같은 사실로부터 mannooligosaccharide의 투여에 의한 *Bifidobacterium*의 증가는 장내에서 발암관련 물질의 생성에 관여하는 세균의 저하를 초래함과 동시에 이것들의 생성억제, 분해촉진 등의 대사활성을 발현시킨다는 것을 충분히 추론할 수 있다(18,19). 그 외 oligo당으로 fructooligosaccharides, galactooligosaccharides도 *Bifidobacterium*의 증식인자로 작용하여 장내의 부패물질 및 유해물질을 생성시키는 세균을 억제하고, 변비의 개선, 생체내의 면역증강 등의 효과가 있기 때문에 식품첨가물 및 사료첨가물로서 검토되고 있다.

본 연구에서는 *Bacillus* sp. 유래  $\beta$ -mannanase의 정제를 수행하고, carbon column chromatography, sephadex G-25 column chromatography, thin layer chromatography, FACE (Fluorophore Assisted Carbohydrate Electrophoresis)법에 의해 정제효소처리에 의한 xanthan gum 가수분해물을 검

토하였나.

## 재료 및 방법

### 재료 및 시약

*Bacillus* sp.는 일본 Tsukuba 대학 응용생화학 연구실로부터 분양받아 실험에 사용하였다. FACE 전기영동법에서는 acrylamide(Sigma Chemical Co., USA), SDS(sodium dodecyl sulfate, Bio Rad Laboratories, USA), Tris(Hydroxymethylaminomethane, Bio Rad Laboratories, USA), Glycine(Bio Rad Laboratories, USA), ANTS(8-aminonaphthalene-1,3,6-trisulfonic acid, disodium salt, Molecular Probes, USA)를 사용하였고, 고소정제 수지로는 DEAE Sephadex<sup>®</sup>(Pharmacia Biotech, USA)를 사용했고, 가수분해물 분리에는 Carbon Activated, Powder(藥理化學工業株式會社, Yakuri Pure Chemicals Co., LTD., Japan), T.L.C(Merck TLC plate silicagel 60, Germany) Sephadex G-25(Pharmacia Biotech., USA)를 사용하였다.

### 단백질 농도 결정

UV-Vis spectrophotometer(Model 1201, Shimadzu, Japan)에서 280 nm의 흡광도에서 1 mg/mL의 농도를 1.0이라고 가정하였고, Lowry방법(20)에 의해서도 bovine serum album n을 standard로 하여 단백질농도를 확인하였다.

### 효소 활성측정

$\beta$ -Mannanase의 생산량은 DNS 환원당 정량법(21)에 의하여 수행하였다. 즉, 0.5 mL의 1% gum, 0.4 mL의 McIlvaine buffer pH 6.0)와 0.1 mL의 균체가 제거된 배양액을 섞어 50°C에서 30분간 반응시킨 후 생성된 mannose를 회석하여 570 nm에서 흡광도를 측정하였다. 표준곡선은 D-mannose를 0.1~10 mg/mL를 사용하였고, 효소 1 unit의  $\beta$ -mannanase는 동일조건에서 1분당 생성되는 D-mannose에 해당하는 1 mg/nL의 환원당을 방출하는 효소의 양으로 정의하였다.

### DEAE Sepahcel ion exchange chromatography에 의한 정제

DEAE Sepahcel은 0.2 M MacIlvaine buffer solution(pH 6.0)으로 셋은 다음 column(2.5×42 cm)에 충진시켜서 0.2 M MacIlvaine buffer solution(pH 6.0)으로 평형을 유지시켰다. 여기에 투석한 조효소 30 mL를 0~1 M NaCl로 linear gradient하여 용출시켰다. 용출속도는 30 mL/hr로 하였고, 용출액은 5 mL씩 fraction collector에 모았고, 각 용출액은 단백질과 효소의 활성을 측정하고 정제도를 확인한 후 효소액으로 사용하였다.

### Thin layer chromatography (TLC)

TLC는 McCleary법(22)에 따라 다음과 같은 조건하에서 전개 후 UV조사 및 spray reagent로 분무하여 140°C에서 5분간 가열하여 당을 분석하였다.

① TLC plate; 25 TLC plates 20×20 cm silica gel 60 F254(Merck, Germany)

② Developing solvent; n-propanol : methanol : water = 5:2:3(v/v/v)

③ Spray Reagent; 30% sulfuric acid-ethanol

### Column chromatography에 의한 분리

효소액 300 mL에 대해 0.5% gum을 24시간 가수분해해 TLC로 pattern을 검토한 후 carbon column chromatography을 이용해 250 mL/hr 유속으로 ethanol 0~30%의 gradient method로 당을 분리하여, Sephadex G-25 column chromatography를 이용해 0.05 M-NaCl로 용출시킨 당용액 0.2 mL와 5% phenol 0.2 mL를 가하여 혼합후 conc.-H<sub>2</sub>SO<sub>4</sub> 1 mL를 가하여 혼합한 후 20분간 방치하여 490 nm에서 흡광도를 측정하였다.

### FACE (Fluorophore Assisted Carbohydrate Electrophoresis)

ANTS 유도체화한 당의 전기영동은 30%의 polyacrylamide gel을 이용했다. 즉, acrylamide A, acrylamide B, buffer A를 혼합해, 5분간 탈기한 후 10% APS와 TEMED를 첨가해 separating gel을, acrylamide a, Buffer B와 중류수를 혼합해 5분간 탈기한 후 10% APS와 TEMED를 첨가해 stacking gel을 제조해 buffer C를 영동용 완충용액으로 하여 stacking gel은 100 V, separating gel은 300 V로 전기영동을 수행하였다.

## 결과 및 고찰

### DEAE Sepahcel ion exchange chromatography에 의한 정제

Fig. 1는 DEAE Sepahcel ion exchange chromatography(2.5×42 cm)에 의해 *Bacillus* sp. 유래  $\beta$ -mannanase의 정제

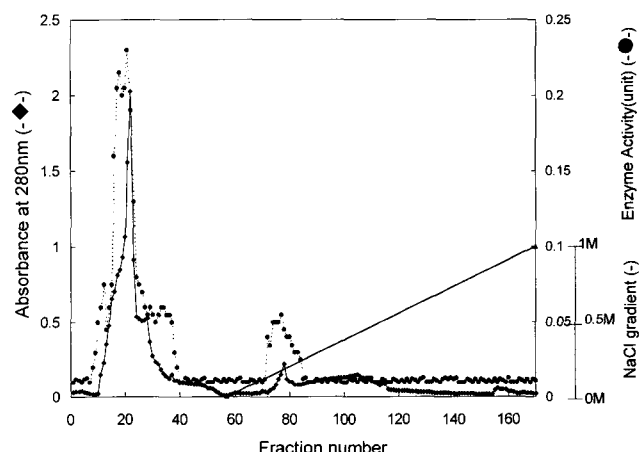


Fig. 1. Chromatogram of the  $\beta$ -mannanase from *Bacillus* sp. by DEAE Sepahcel column chromatography.

Table 1. Summary of purification of  $\beta$ -mannanase from *Bacillus* sp.

Step	Total activity (units)	Total protein (mg)	Specific activity (units/mg)	Purification fold	Yield (%)
Crude enzyme	1038	5052	0.21	1.0	100
30% $(\text{NH}_4)_2\text{SO}_4$	954	4224	0.23	1.1	91.91
DEAE Sepahcel ion exchange column chromatography	585	33.6	17.41	84.74	56.36

를 수행한 것으로 평형화된 column에 흐소액 30 mL를 투여해 30 mL/hr 유속으로 tube당 5 mL씩 용출하였으며 0~1 M NaCl linear gradient로 농도구배법에 의해 용출한 결과 fraction No. 18~20와 70~86에서 두 개의 peak가 나타났으며 이 중 활성이 인정되는 main peak는 NaCl gradient 농도구배를 fraction No. 60부터 진행한 이후에 나타나는 fraction No. 70~86이 인정되었다.

30% ammonium sulfate를 처리한 후 DEAE Sepahcel ion exchange chromatography를 수행한 후의 정제효소의 비활성은 17.41 units/mg로서 정제배율은 84.74배를 나타내었다 (Table 1).

#### Column chromatography에 의한 xanthan gum 가수분해물 분해물 pattern

Carbon column chromatography를 이용해 xanthan gum 을 0~50%의 ethanol gradient method로 분리한 결과 fraction number 40~45 및 50~60사이에서 broad한 2개 peak의 가수분해물 pattern을 나타내고 있으며 (Fig. 2), 가수분해물의 분리도를 확인하기 위하여 Fig. 3과 같이 TLC를 수행한 결과 fraction No. 40~44에서는 중합도 5에 해당하는 가수분해물이 주축을 이루고 있는 반면 fraction No. 50~55에서는 중합도 7의 가수분해물이 주축을 이루고 있음을 확인할 수 있었다. 그러나 fraction No. 40~45사이에서는 일부 소량의 저중합도 2와 3의 가수분해물이 포함되어 있으며 fraction No. 50~60사이에서는 고중합도 7이상의 가수분해물 일부가 포함되어 있어 주요 가수분해물의 중심을 이루고 있는 중합도 5와 7의 분리를 위해 다음 단계에서 fraction No. 40~55를 모아 농축하여 gel filtration method에 의한 분리를 시도하였다.

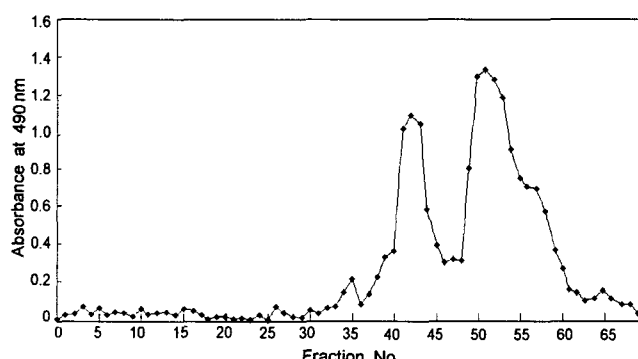


Fig. 2. Separation of xanthan gum hydrolysates by carbon column chromatography.



Fig. 3. Thin-layer chromatogram of xanthan gum hydrolysates by carbon column chromatography.  
A: Standard mannose, mannobiase, mannotriose, mannotetraose and mannopentaose from top to bottom. B: Hydrolysate of xanthan gum by the enzyme treatment. Numbers represent fraction numbers.

#### Sephadex G-25 column chromatography에 의한 xanthan gum 가수분해물 분리

1차 TLC상에서의 결과에서는 저중합도의 가수분해물도 일부 포함되어 있어, 중합도별 가수분해물의 분리도를 높이기 위해 2차로 Sephadex G-25 column chromatography를 이용한 결과 fraction No. 12~15에서 중합도 7의 올리고당과 fraction No. 77~80에서 중합도 5의 가수분해물을 분리할 수 있었고 (Fig. 4), 가수분해물의 분리도를 확인하기 위해 2차 TLC를 수행한 결과는 Fig. 5에서 나타내고 있다. Fraction No. 12~15에서는 중합도 7이 주축을 이루고 있으나 일부 소량의 고중합도 가수분해물이 공존하고 있는 것으로 사료되며, fraction No. 77~80에서는 분리능이 높게 중합도 5의 가수분해물이 분리된 것으로 사료된다.

#### FACE (Fluorophore Assisted Carbohydrate Electrophoresis)법에 의한 xanthan gum 가수분해물 분리 및 동정

Buffer A, B, C, 20% glycerol, acrylamide, ANTS화 시약, APS, TEMED를 이용하여 separation gel과 stacking gel을 만들어 Sephadex G-25 column chromatography에서 분리

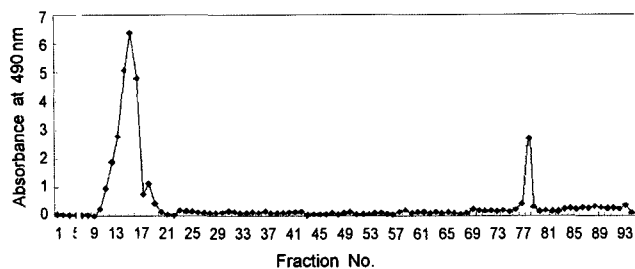


Fig. 4. Separation of D.P (Degree of Polymerization) value 5 and 7 by Sephadex G-25 column chromatography.



Fig. 5. Thin-layer chromatogram of Separation of D.P value 5 and 7 by Sephadex G-25 column chromatography.  
A: Standard mannose, mannobiase, mannotriose, mannotetraose and mannopentaose from top to bottom.  
Numbers represent fraction numbers.

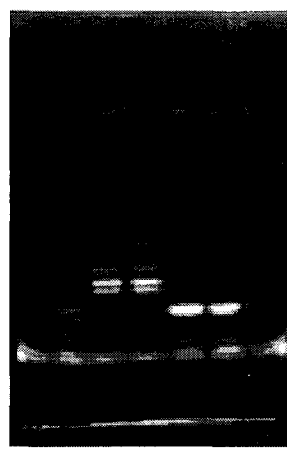


Fig. 6 Identification of xanthan gum Hydrolysate by FACE method.  
A: Standard mannose, mannobiase, mannotriose, mannotetraose and mannopentaose from bottom to top.  
Numbers represent fraction numbers.

된 fraction No. 12~15, 77~80을 동결건조시킨 후 ANTS-Labeled하여 Fig. 6과 같이 전기영동한 결과로서 fraction No. 12~15에서는 중합도 7이 main band로, fraction No. 77~80에서는 중합도 5의 main band를 확인할 수 있었다. 이와 같이 분리된 2개의 fraction은 homo type의 가수분해물로 사료된다. 이와 같은 type의 결정은 차후 가수분해물 구조동정에 매우 유리한 자료로 활용될 것이다. 현재 본 연구실에서는 분리된 중합도 5과 7의 순도 및 수득율을 높혀 구조식을 규명하는 연구를 수행중에 있다.

## 요 약

DEAE Sepahcel ion exchange chromatography(2.5×42 cm)에 의해 *Bacillus* sp. 유래  $\beta$ -Mannanase정제를 수행하였다. 정제효소의 비활성은 17.41 units/mg로서 정제배율은 84.74배를 나타내었다. Carbon column chromatography를 이용하여 0~50%의 ethanol gradient법으로 xanthan gum의 가수분해물을 분리한 결과 fraction number 40~45 및 50~60사이에서 broad한 2개 peak의 가수분해물 pattern을 나타내었다. 가수분해물의 분리도를 확인하기 위하여 TLC를 수행한 결과 fraction No. 40~44에서는 Rf value상 중합도 5에 해당하는 가수분해물이 주축을 이루고 있는 반면 fraction No. 50~55에서는 중합도 7의 가수분해물이 주축을 이루고 있음을 확인할 수 있었다. 중합도별 가수분해물의 분리도를 높이기 위해 2차 Sephadex G-25 column chromatography를 수행한 결과 fraction No. 12~15에서 중합도 7의 올리고당과 fraction No. 77~80에서 중합도 5의 가수분해물을 분리할 수 있었고, 가수분해물의 분리도를 확인하기 위해 2차 TLC를 수행한 결과 fraction No. 12~15에서는 중합도 7이 주축을 이루고 있으나 일부 소량의 고중합도 가수분해물이 공존하고 있는 것으로 사료되며, fraction No. 77~80에서는 분리능이 높게 중합도 5의 가수분해물이 분리되었다. 이와 같이 분리된 2개의 fractions은 FACE법에 의해 Homo type가수분해물로 동정되었다.

## 감사의 글

본 연구는 2002년도 경원대학교 학술연구비 지원을 받아 수행되었기에 이에 감사드립니다.

## 문 헌

- Park GG, Chang HG. 1992. Separation and preparation of galactosylmanno-oligosaccharides from copra galactomannan by mannanase from *Penicillium purpurogenum*. *J Microbiol Biotechnol* 2: 204-208.
- Kim JH, Lee TK, Yang HC, Oh DK. 1997. Optimization of medium for  $\beta$ -mannanase production by *Bacillus* sp. WS-42. *Kor J Appl Microbiol Biotechnol* 25: 212-217.

3. Park GG. 1994. Production of mannooligosaccharides by the *Penicillium purpurogenum* mannanase. *J Korean Soc Food Nutr* 23: 509-514.
4. Tipson RS, Horton D. 1976.  $\beta$ -1,4-Mannosidic linkage of mannan. In *Advances in carbohydrate chemistry and biochemistry*. Academic Press, New York. Vol 32, p 299-301.
5. Tsujisaka Y, Hiyama K, Fukumoto. 1972. Guar gum hydrolyzing enzyme in plant. *Nippon Nogeikagaku Kaishi* 43: 155-160.
6. Hishimoto Y, Fukumoto J. 1969.  $\beta$ -1,4-Mannosidic linkage of konjak. *Nippon Nogeikagaku Kaishi* 43: 317-319.
7. Takahashi R, Kusakabe I, Maekawa A, Suzuki T, Murakami K. 1983. Studies on mannanase of *Actinomycetes*. *Japan J Trop Agr* 27: 140-147.
8. Dekker RFH, Richard GN. 1976. *Advances in carbohydrate chemistry and biochemistry. Hemicellulases*: Their occurrence, purification, properties and mode of action 32: 300-301.
9. Isao K, Rihei T, Satoru K, Yoshio S, Kazuo M, Akio M, Takao S. 1985. Struture of the glucomannoooligosaccharides resulting from the hydrolysis of konjac glucomannan produced by a  $\beta$ -mannanase from *Streptomyces* sp.. *Report of Research Projecton Tropical Agricultural Resorces* 4: 151-161.
10. Kobayashi Y, Echizen R, Mutai M. 1984. Intestinal flora and dietary factors. *Processings of the 4th RIKEN Symposium on Intestinal flora*. Japan Scientific Press, Tokyo. p 69-70.
11. Haenel H, Bending J. 1975. Bifidobacterium role of intestinal flora. In *Progresses in Food and Nutrition Science*. Porgam Press p 1: 21.
12. Shin SJ. 1988. Emerging foodborne pathogenes of public health importance. The challenge and prospects for the 21st century in verterinary science 38: 77-83.
13. Doyle MP, Roman DJ. 1992. Recovery of *Campylobacter jujuni* and *Campylobacter coli* from inoculated foods by selective enrichment. *Appl Environ Microbiol* 43: 1343-1349.
14. Tauxe RV, Hargrett-Bean N, Patton CM, Wachsmuth IK. 1988. *Campylobacter* isolates in the United States, 1982-1986. *Morbid Weekly Report* 37: 1-13.
15. Shin SY, Park JH. 1997. Activities of oxidative enzymes related with oxygen tolerance in *Bifidobacterium* sp. *J Microbiol Biotechnol* 7: 356-359.
16. Lernke M, Churchill PF, Wetzel RG. 1995. Effect of substrate and cell surface hydrophobicity on phosphate utilization in bacteria. *Appl Environ Mocrobiol* 61: 913-919.
17. Steeg RF, Hellemons JC, Kok AE. 1999. Synergistic actions fnsin, sublethal ultrahigh pressure, and reduced temperature on bacteria and yeast. *Appl Environ Microbiol* 65: 4148-4154.
18. Park GG, Jung GH, Kobayashi H. 1999. Purification and application of earthworm  $\alpha$ -galactosidase by affinity chromatography. *Kor J Appl Microbiol Biotechnol* 27: 298-307.
19. Park GG, Lee SY, Park BK, Ham SS, Lee JH. 1991. Characteristic features of a galactosidase from *Penicillium purpurogenum*. *J Microbiol Biotechnol* 1: 90-97.
20. Lowry OH, Rosebrough NJ, Fan AL, Randall RJ. 1951. Protein measurement with the folin phenol reagent. *J Biol Chem* 193: 265-271.
21. Miller GL. 1959. Use of dinitrosalicylic acid reagent for determination of reducing sugar. *Anal Chem* 31: 426-428.
22. McCleary BV. 1982. Purification and properties of a mannoside mannohydrolase from guar. *Carbohydr Res* 101: 74-92.

(2003년 2월 24일 접수; 2003년 6월 10일 채택)